

УДК 533.6.011.5+532.526.5

© 1991 г.

**В. К. МАСАЛОВ, Р. К. ТАГИРОВ**

**РАСЧЕТ ДОННОГО ДАВЛЕНИЯ И ЭНТАЛЬПИИ ЗА УСТУПОМ,  
ОБТЕКАЕМЫМ ДВУМЯ СВЕРХЗВУКОВЫМИ ПОТОКАМИ,  
С УЧЕТОМ ВЛИЯНИЯ ПОГРАНИЧНЫХ СЛОЕВ И ТЕПЛОВЫХ  
ПОТОКОВ**

Разработан относительно простой метод расчета параметров течения за уступом, обтекаемым двумя сверхзвуковыми потоками. Метод основан на использовании приближения пограничного слоя и интегральных законов сохранения массы и энергии (модель вязко-невязкого взаимодействия). Он позволяет определять величины донного давления и донной энталпии с учетом влияния чисел Маха, чисел Рейнольдса, толщин начальных пограничных слоев, показателей адиабаты и энталпий стенок при различных отношениях полных давлений и энталпий двух потоков, обтекающих донный уступ.

При решении ряда технических задач, например при исследованиях выходного устройства реактивного двигателя, возникает необходимость в определении параметров течения за донным уступом, обтекаемым двумя разными сверхзвуковыми потоками.

Имеются работы, посвященные экспериментальному и расчетному исследованию обтекания донного уступа [1–9]. Из расчетных работ, в которых бы учитывалось влияние пограничных слоев, можно отметить опубликованные недавно работы [6, 7], в которых параметры за донным уступом определяются на основе решения осредненных уравнений Навье – Стокса. Простых методов расчета, которые позволяли бы определять достоверные значения донного давления и донной температуры за уступом, обтекаемым двумя потоками с разными пограничными слоями, в настоящее время в литературе нет.

1. Рассмотрим обтекание плоского уступа сверхзвуковыми потоками, имеющими перед уступом показатели адиабаты  $\gamma_i$ , полные давления и энталпии  $P_{0i}$ ,  $H_{0i}$ , числа Маха  $M_{0i}$ , толщины начальных пограничных слоев  $\delta_{0i}$  ( $i=1, 2$ ). Параметры верхнего потока обозначим индексом 1, нижнего – 2, параметры в начальном сечении – индексом 0. Заданы высота уступа  $h$ , углы наклона  $\alpha_i$  стенок, примыкающих к уступу.

Каждый из потоков в продольном направлении разделим на три области: 1 – область резкого изменения параметров в волне разрежения (сжатия) в окрестности точки отрыва потока; 2 – изобарическая зона смешения; 3 – область повышения давления в окрестности соединения двух оторвавшихся потоков.

Для описания течения за уступом применяется математическая модель вязко-невязкого взаимодействия, основанная на раздельном рассмотрении вязкого течения в приближении пограничного слоя и соответствующего невязкого течения при одинаковом значении донного давления  $p_g$ . Для описания невязких потоков используется ортогональная система координат  $z, r$ . Для описания вязких слоев используются местные ортогональные системы координат  $x, y$ , где ось  $x$  направлена вдоль границы соответствующего невязкого потока, а ось  $y$  – по нормали к ней.

Сделаем следующие основные предположения: 1) профили скорости пограничного слоя перед и за волной разрежения (сжатия) описываются степенными законами; полное давление постоянно вдоль линии тока в пограничном слое в пределах этой волны; 2) за уступом, до точки соединения

нения двух потоков, донное давление  $p_g$  и донная энталпия  $H_g$  постоянны, а скорости равны нулю; 3) для каждой пары величин  $p_g$  и  $H_g$  параметры на внешних границах зон смешения и максимальное давление в области соединения двух потоков равны параметрам соответствующих невязких потоков.

Поскольку верхний и нижний потоки описываются соотношениями одинакового вида, то далее рассматриваются уравнения только для верхнего потока 1. Соответствующие уравнения для нижнего потока отличаются индексами.

При заданном значении  $p_g$  основные параметры невязкого потока в изобарической области (направленная вдоль оси  $x$  продольная скорость  $u_1$ , число Маха  $M_1$ , число Крокко  $C_1$ ) определяются с помощью соотношений для волны разрежения или скачка уплотнения. Профили скорости пограничного слоя перед и за волной разрежения (сжатия) имеют вид

$$\begin{aligned}\varphi_{01} &= \zeta_{01}^{1/n_{01}}, & \varphi_1 &= \zeta_1^{1/n_1} \\ \zeta_{01} &= \frac{y}{\delta_{01}}, & \zeta_1 &= \frac{y}{\delta_1}, & \varphi_{01} &= \frac{u}{u_{01}}, & \varphi_1 &= \frac{u}{u_1}\end{aligned}$$

Для определения  $n_1$  и  $\delta_1$  за волной разрежения (сжатия) используются два уравнения, полученные в [8]

$$\begin{aligned}\int_0^1 f_{01} d\varphi_1 &= F_{01}, & \delta_1 &= \delta_{01} \frac{n_{01}}{n_1} \frac{p_{01}}{p_g} \frac{C_1}{C_{01}} \\ F_{01} &= \left( \frac{1 - C_{01}^2}{1 - C_1^2} \right)^{1/(n_1 - 1)} \frac{C_{01}^2}{C_1^2} \frac{p_g}{p_{01}} \int_0^1 \frac{\varphi_{01}^{n_{01}}}{H_{\delta_{01}} - \varphi_{01}^2 C_{01}^2} d\varphi_{01} \\ H_{\delta_1}^- &= \frac{H_{\delta_1}}{H_{01}} = H_{w1}^- + (1 - H_{w1}^-) \varphi_1, & f_{01} &= \frac{\varphi_1^{n_1}}{H_{\delta_1}^- - \varphi_1^2 C_1^2} \\ H_{\delta_{01}}^- &= \frac{H_{\delta_{01}}}{H_{01}} = H_{w1}^- + (1 - H_{w1}^-) \varphi_{01}, & H_{w1}^- &= \frac{H_{w1}}{H_{01}}\end{aligned}$$

При выводе предполагалось, что полные энталпии поперек пограничного слоя перед ( $H_{\delta_{01}}$ ) и за ( $H_{\delta_1}$ ) волной разрежения (сжатия) линейно зависят от скорости. Для зоны смешения на основе совместного рассмотрения уравнений сохранения массы и импульса запишем соотношения для определения координаты линии постоянных масс

$$\begin{aligned}\int_{\eta_{H_1}}^{\eta_1} f_1 d\eta &= \int_{\eta_{H_1}}^{\eta_{01}} f_1 (1 - \varphi) d\eta - \eta_{x1} n_1 \int_0^1 f_{01} (1 - \varphi_1) d\varphi_1 \\ \tau &= \frac{u}{u_1}, & \eta &= \eta_{x1} \frac{y}{\delta_1}, & H_1^- &= \frac{H}{H_{01}}, & f_1 &= \frac{\varphi}{H_1^- - \varphi^2 C_1^2}\end{aligned}$$

где  $\eta_{x1}$  — известная функция  $x$ , определяемая ниже.

Из решения линеаризованных уравнений пограничного слоя получаем профили скорости и полной энталпии в зоне смешения

$$\varphi = \frac{1}{2} [1 + \operatorname{erf}(\eta - \eta_{x1})] + \frac{1}{\sqrt{\pi}} \int_{\eta - \eta_{x1}}^{\eta} \left( \frac{\eta - \beta}{\eta_{x1}} \right)^{1/n_1} e^{-\beta^2} d\beta$$

$$H_1^- = \frac{1+H_{g1}^-}{2} + \frac{H_{w1}^- - H_{g1}^-}{2} \operatorname{erf}(\eta) + (1-H_{w1}^-) \left( \Phi - \frac{1}{2} \right)$$

Коэффициент турбулентной вязкости  $\varepsilon$  определяется в соответствии с модифицированной формулой Прандтля [9, 10, 1]

$$K = \frac{\lambda}{4\sigma^2}, \quad \sigma = \sigma_1 \lambda, \quad \sigma_1 = 12 + 2,78M_1, \quad \lambda = \frac{u_1 - u_{H1}}{u_1 + u_{H1}}$$

С учетом этого соотношение для координаты  $\eta_{x1}$  имеет вид

$$\eta_{x1} = \frac{\sigma_1 \delta_1}{1,5(x^2 + 4,4\sigma_1^2 x \delta_1 \varepsilon_0)^{0,5}}$$

Предполагается, что коэффициент начальной турбулентной вязкости  $\varepsilon_0$  определяется внешней частью пограничного слоя. Поэтому на основе известной формулы Клаузера [11]

$$\varepsilon_0^- = \frac{\varepsilon_0}{\delta_1 u_1} = \frac{0,018}{1+n_1}$$

Ординаты верхней и нижней границ зоны смешения  $\eta_{w1}$  и  $\eta_{h1}$  определяются с помощью соотношений

$$\varphi(\eta_{w1}) = 0,999, \quad \varphi(\eta_{h1}) = 0,001$$

Введем в рассмотрение разделяющую линию зоны смешения. Эта линия отделяет высоконапорные частицы газа, которые могут преодолеть область повышенного давления за замыкающим скачком уплотнения, от низконапорных частиц, которые не могут преодолеть эту область и возвращаются назад, образуя циркуляционную зону. Переход давлений на замыкающем скачке уплотнения известен из решения задачи взаимодействия двух невязких потоков. Для определения ординаты разделяющей линии  $\eta_{d1}$  требуется условие присоединения, т. е. связь полного давления  $P_d/p_g$  на разделяющей линии с перепадом  $p_c/p_g$ . В схеме Корста [1]  $P_d = p_c$ . Однако это условие присоединения не учитывает работу сил трения. В литературе опубликованы различные способы уточнения этого условия (см., например, [5, 12]). В данной работе предлагается новое условие, учитывающее работу сил трения и имеющее вид

$$\frac{P_{d1}}{p_g} = \frac{p_c}{p_g} \frac{1}{p_{cr1}^-}$$

Обоснование этого соотношения и методы определения критического перепада давлений на скачке уплотнения  $p_{cr1}^-$  даны в следующем разделе. С помощью найденного значения  $P_{d1}/p_g$  определяется величина скорости  $\varphi_d$  на разделяющей линии

$$\varphi_{d1} = \left[ \frac{H_{d1}}{H_{01}} \left( 1 - \left( \frac{P_{d1}}{p_g} \right)^{1/\gamma_1-1} \right) C_1^{-2} \right]^{\eta_2}$$

Поскольку полная энтальпия  $H_d$  на разделяющей линии тока зависит от  $\varphi_d$ , то  $\varphi_d$  из написанного соотношения находится методом последовательных приближений. При этом определяется искомая ордината  $\eta_{d1}$  из соотношения  $\varphi(\eta_{d1}) = \varphi_{d1}$ .

Рассматриваемая задача об отрывном течении за уступом замыкается с помощью уравнений сохранения массы и тепла

$$F_1 + AF_2 + m_b^- B = 0$$

$$\begin{aligned}
& \int_{\eta_{d_1}}^{\eta_{d_1}} f_1(H_1 - 1) d\eta - F_1 + \eta_{x1} n_1 \int_0^1 f_{01}(1 - H_{\delta_1}^-) d\varphi_1 + \\
& + B_1 \left[ \int_{\eta_{d_2}}^{\eta_{d_2}} f_2(H_2 - 1) d\eta - F_2 + \eta_{x2} n_2 \int_0^1 f_{02}(1 - H_{\delta_2}^-) d\varphi_2 \right] - B_2 = 0 \\
A &= \frac{M_2}{M_1} \frac{\delta_2}{\delta_1} \frac{\eta_{x1}}{\eta_{x2}} \frac{\gamma_2}{\gamma_1} \left( \frac{\gamma_1 - 1}{\gamma_2 - 1} \frac{H_{01}}{H_{02}} \frac{1 - C_2^2}{1 - C_1^2} \right)^{\frac{n_2}{n_1}} \\
B &= \frac{\eta_{x1}}{1 - C_1^2} \frac{h}{\delta_1} \frac{M_{01}}{M_1} \frac{p_{01}}{p_g} \left( \frac{1 - C_1^2}{1 - C_{01}^2} \right)^{\frac{n_2}{n_1}} \\
B_1 &= A \frac{H_{02}}{H_{01}}, \quad B_2 = m_b^- B \frac{H_b}{H_{01}} + Q_{wg}^- \\
m_b^- &= \frac{m_b}{\rho_{01} u_{01} h}, \quad Q_{wg}^- = \frac{Q_{wg} \eta_{x1}}{\rho_1 u_1 H_{01} \delta_1 (1 - C_1^2)} \\
F_1 &= \int_{\eta_{f_1}}^{\eta_{d_1}} f_1 d\eta, \quad F_2 = \int_{\eta_{f_2}}^{\eta_{d_2}} f_2 d\eta, \quad f_{02} = \frac{\Phi_2^{n_2}}{H_{\delta_2}^- - \Phi_2^2 C_2^2}
\end{aligned}$$

$$f_2 = \frac{\Phi}{H_2^- - \Phi^2 C_2^2}, \quad H_{\delta_2}^- = H_{w2}^- + (1 - H_{w2}^-) \Phi_2, \quad H_{w2}^- = \frac{H_{w2}}{H_{c_2}}$$

Здесь  $m_b$  и  $H_b$  — расход и полная энталпия вдуваемого в донную область газа;  $Q_{wg}$  — подводимое в донную область через стенку уступа тепло.

С помощью выписанных уравнений в процессе итерационных расчетов определяются искомые величины  $p_g$  и  $H_g$ .

2. Рассмотрим течение в области присоединения, где происходит повышение давления от  $p_g$  до  $p_c$  на некоторой длине  $l$ . Для облегчения понимания процесса вначале проанализируем течение в пограничном слое на стенке перед задней кромкой сопла. Если струя истекает из сопла на расчетном режиме, то  $l=0$ . Если давление среды  $p_n$  возрастает, то оно передается по пограничному слою вверх по потоку на расстояние  $l$ . Здесь можно выделить линию  $f$ , на которой полное давление  $P_f = p_n$ . Это эквивалентно условию присоединения Корста.

Если бы течение в области взаимодействия на длине  $l$  определялось только полными давлениями струек тока, то все частицы ниже линии  $f$  не смогли бы преодолеть давление  $p_n$  и образовали бы обратный поток. В реальном течении этого не происходит из-за наличия работы сил трения. Частицы газа, имеющие большую скорость, из-за турбулентной вязкости тянут за собой частицы, имеющие меньшую скорость, повышая их полное давление на величину  $\Delta P$ . В силу этого действительной разделяющей линией  $d$  является линия тока, лежащая на стенке, а не линия  $f$ . Оценим величину  $\Delta P$ :  $P_f = P_d + \Delta P$ .

Так как  $P_f = p_n$ ,  $P_d = p_1$ , то

$$\frac{\Delta P}{P_d} = \frac{p_n}{p_1} - 1 = \frac{\Delta p}{p_1}$$

По мере увеличения  $p_n$  возрастает и  $\Delta P$ , но только до определенного момента. Когда  $p_n/p_1$  достигает критического значения  $p_{cr}^-$ , начинается отрыв и вся область взаимодействия, имеющая длину  $l$ , перемещается вверх по потоку. Отсюда следует, что  $\Delta P$  достигает максимального значения при

$$\left( \frac{\Delta P}{P_d} \right)_{max} = p_{cr}^- - 1$$

Таким образом, критический перепад давления на скачке является мерой работы сил трения и определяет максимальное значение эффективного приращения полного давления  $\Delta P$  на линии  $d$ .

Рассмотрим область присоединения оторвавшегося потока применительно к решаемой в данной работе задаче. Давление перед областью присоединения равно  $p_g$ , а за ней —  $p_c$ . Если  $p_c/p_g \leq p_{cr}^-$ , то все частицы профиля скорости преодолеют область повышения давления. В этом случае разделяющая линия тока совпадает с линией нулевых скоростей и полученные выше соотношения для  $\Delta P$  справедливы. По-прежнему максимальное приращение полного давления на линии  $d$  из-за влияния работы сил трения определяется величиной  $p_{cr}^-$ .

Рассмотрим более общий случай, когда  $p_c/p_g > p_{cr}^-$ . В этом случае образуется обратный поток и линия  $d$  находится выше линии нулевых скоростей. Этот обратный поток обусловлен полным давлением на разделяющей линии  $P_d = P_f - \Delta P_{max}$  или  $P_d [1 + (\Delta P/P_d)_{max}] = p_c$ . Отсюда получаем

$$\frac{P_d}{p_g} = \frac{p_c}{p_g} \frac{1}{p_{cr}^-}$$

Рассмотрим два способа определения величины  $p_{cr}^-$ . Первый основан на оценках, аналогичных оценкам [13]. Для окрестности линии  $d$ , где скорости малы, справедливы соотношения

$$\frac{\Delta p}{q_1} \approx \frac{2}{\beta_1} \Delta \theta, \quad \frac{dp}{dx} \approx \left( \frac{\partial \tau}{\partial y} \right)_d$$

$$q_1 = \frac{1}{2} \rho_1 u_1^2, \quad \beta_1 = (M_1^2 - 1)^{1/2}$$

Если считать, что в области обратных токов на стенке  $\tau_w \approx 0$ , то

$$\frac{\Delta p}{q_1} \sim \sqrt{\frac{C_{fd}}{\beta_1}}, \quad \frac{l}{\delta_d} \sim \frac{1}{\sqrt{\beta_1 C_{fd}}}$$

Эта оценка определяет критический перепад  $p_{cr}^-$  с точностью до константы

$$p_{cr}^- = 1 + A_c M_1^2 \sqrt{\frac{C_{fd}}{\beta_1}}$$

Полученное соотношение отличается от аналогичных соотношений работ [12–14] наличием коэффициента трения на разделяющей линии вместо коэффициента трения на стенке. На основе расчетов установлено, что  $A_c = 0,77$ . Поскольку профили скорости и полной энталпии в зоне смешения известны, то величина  $C_{fd}$  определяется по формуле

$$C_{fd} = D \left( \frac{\partial \Phi}{\partial \eta} \right)_d (H_d - \eta_d^2 C_1^2)^{-1}$$

$$D = 2(1 - C_1^2) \left( 0,455 \frac{x}{\sigma_1^2} + \varepsilon_0 - \delta_1 \right) \frac{\eta_{x1}}{\delta_1}$$

$$\left( \frac{\partial \Phi}{\partial \eta} \right)_d = \frac{1}{\sqrt{\pi}} e^{-(\eta_d - \eta_{x1})^2} - \frac{2}{\sqrt{\pi}} \int_{\eta_d - \eta_{x1}}^{\eta_d} \left( \frac{\eta_d - \beta}{\eta_{x1}} \right)^{1/n_1} \beta e^{-\beta^2} d\beta$$

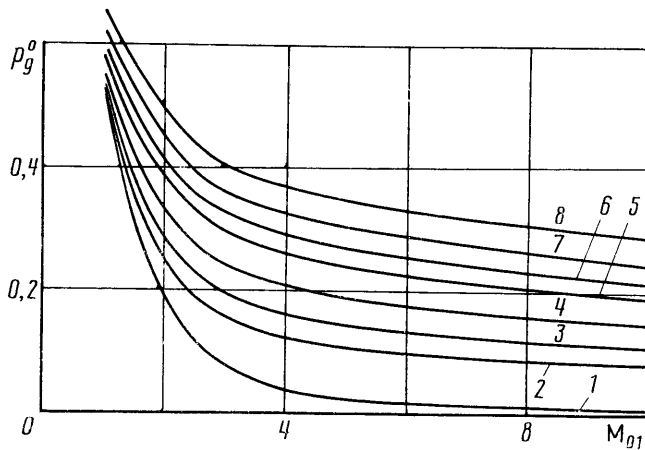
Во втором способе определения  $p_{cr}^-$  в соответствии с [15] принимается, что в критическом скачке уплотнения отношение чисел Maxa  $M^\circ$  является функцией числа Рейнольдса и температуры.

В [15] для турбулентного пограничного слоя получено, что

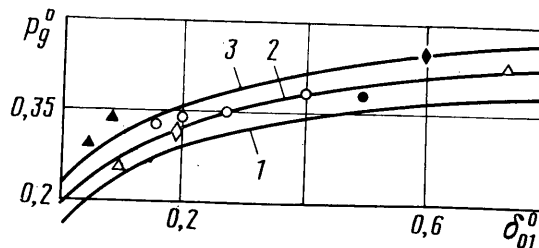
$$M^\circ = C_M C_{fi}^{0,1} T_w^{0,04}, \quad C_{fi} = (2 \lg Re_x - 0,65)^{-2,3}$$

где  $C_{fi}$  — коэффициент трения, соответствующий несжимаемой жидкости. Константа  $C_M$  и соответствующее ей значение  $M^\circ$  могут изменяться в зависимости от наполненности профиля скорости. Для профилей, описываемых степенным законом с показателем степени порядка 7,  $C_M \approx 1,42$ . При этом, например для  $Re_x = 6 \cdot 10^6$  и  $T_w = 1$ , получается  $M^\circ = 0,7835$ .

В зоне смешения струйный профиль скорости менее наполнен, чем в пограничном слое. Поэтому для него константа  $C_M$  и  $M^\circ$  должны иметь большие значения. На основе пробных расчетов донного давления установлено, что для принятых в



Фиг. 1



Фиг. 2

данной работе профилей скорости в зоне смешения  $C_M=1,639$ . При этом для  $Re_x=6 \cdot 10^6$  и  $T_w=1$  получается  $M^0=0,91$ .

Таким образом, применительно к рассматриваемой задаче

$$M^0 = 1,639 C_{f1}^{0,1} \left( \frac{H_{d1}}{H_{01}} \right)^{0,04}$$

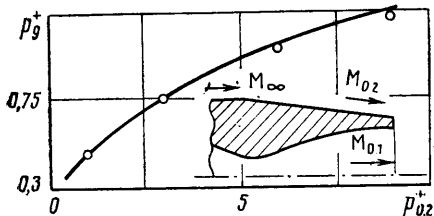
Здесь в качестве температурного фактора выступает относительная полная энталпия на разделяющей линии тока. Искомый критический перепад давлений определяется с помощью соотношений [15].

Проведены расчеты донного давления при  $M_{01}=1,5, 2, 3$  с использованием двух способов определения  $p_{cr}$ . Результаты удовлетворительно согласуются. В дальнейшем использовался второй способ.

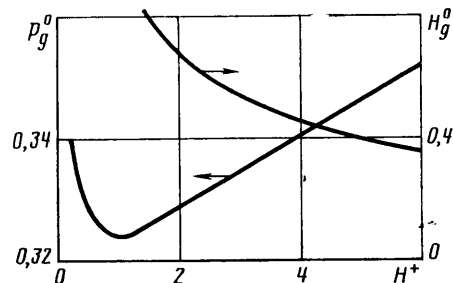
3. Рассмотрим результаты расчетов обтекания донного уступа при отсутствии тепловых потоков. На фиг. 1 приведены результаты расчета донного давления  $p_g^0 = p_g/p_{01}$  ( $p_{01}$  – статическое давление набегающего потока) в зависимости от  $M_{01}$  для случая обтекания уступа высотой  $h_1$  одним потоком при  $\gamma=1,4$ ,  $Re_x=6 \cdot 10^6$ . Кривая 1 соответствует  $\delta_{01}^0=\delta_{01}/h_1=0$ , 2 – 0,05, 3 – 0,1, 4 – 0,2, 5 – 0,4, 6 – 0,6, 7 – 1, 8 – 2.

На фиг. 2 дается сравнение рассчитанных при  $M_{01}=2$ ,  $\gamma_1=1,4$ ,  $Re_x=3,6 \cdot 10^7$ ,  $6 \cdot 10^6$ ,  $10^6$  (кривые 1, 2, 3) и  $\delta_{01}^0=0-0,8$  результатов с экспериментальными данными, собранными в [9] из различных источников. В целом имеется удовлетворительное их соответствие.

Для следующего примера расчета выбрана модель выходного устройства, подробно исследованная в [6, 7], где приведены результаты численных исследований, полученных на основе интегрирования осредненных уравнений Навье – Стокса и эксперимента [4]. Модель представляла собой осесимметричное тело диаметром  $D$ , из заднего торца которого истекала реак-



Фиг. 3



Фиг. 4

тивная струя. Полная длина модели  $L_1=9D$ , диаметр выходного сечения сопла  $d_c=0,6D$ , высота кольцевого донного уступа  $h=0,06D$ , угол наклона задней (кормовой) части тела  $\alpha_1=-8^\circ$ , число Маха внешнего потока  $M_\infty=-2$ , число Маха на выходе из сопла  $M_{02}=2,5$ , показатели адиабаты  $\gamma_1=\gamma_2=1,4$ , число Рейнольдса для внешнего потока  $Re_D \approx 1,5 \cdot 10^6$ , толщина вытеснения внешнего пограничного слоя перед уступом  $0,038D$ .

Расчеты проведены при различных отношениях статических давлений внутреннего и внешнего потоков  $p_{02}/p_{01}=1-10$ . Высота уступа мала, поэтому при определении донного давления использовалось приближение плоского течения. Для исследуемого варианта принималось, что из сопла истекает равномерный поток параллельно оси симметрии ( $\alpha_2=0$ ). На основе имеющихся данных для внешнего потока получено, что  $M_{01}=2,3$ ,  $Re_1=-1,35 \cdot 10^7$ ,  $\delta_{01}/h \approx 2,4$ . Предполагалось, что изменение режима истечения струи из сопла, длина которой берется равной  $L_2 \approx 0,9D$ , происходит в результате изменения полного давления внутреннего потока. Соответственно происходит изменение числа  $Re_2$  и толщины пограничного слоя  $\delta_{02}/h$ . Полученные для внутреннего потока начальные данные приведены ниже ( $p_{02}^+=p_{02}/p_\infty$ ):

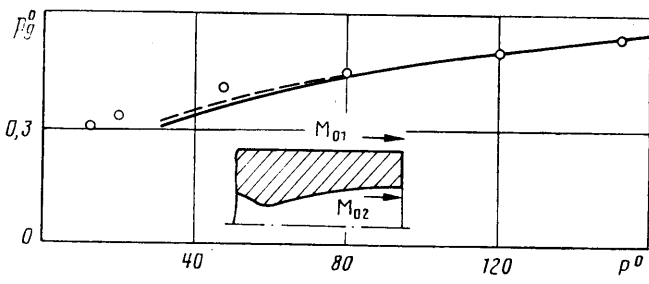
$P_{02}/P_{01}$	1	4	8	12	16	20
$p_{02}^+$	0,458	1,832	3,664	5,495	7,327	9,159
$Re_2 \cdot 10^{-7}$	0,12	0,48	0,96	1,44	1,92	2,4
$\delta_{02}/h$	0,389	0,295	0,257	0,237	0,223	0,214
$p_g^+$	0,323	0,632	0,858	1,014	1,148	1,257

Результаты расчета донного давления приведены в последней строке ( $p_g^+=p_g/p_\infty$ ), а также на фиг. 3. Здесь же показаны экспериментальные точки, взятые из [4, 6]. Видно, что результаты расчета хорошо совпадают с экспериментальными данными.

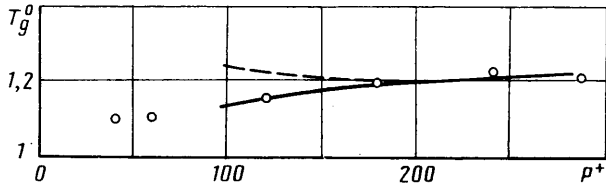
Исследовалось также влияние числа Рейнольдса и вдува газа в донную область на величину  $p_g$ . Результаты расчета согласуются с экспериментальными данными, приведенными в [16, 17]. Для получения донного давления за уступом, обтекаемым двумя разными потоками с соответствующими пограничными слоями, требовалось около 5 с на ЭВМ типа ЕС-1061.

4. Результаты расчета  $p_g$  и  $H_g$  с учетом влияния чисел Маха, Рейнольдса, тепловых потоков и начальных пограничных слоев в целом удовлетворительно согласуются с имеющимися в литературе данными [2, 18]. Здесь приведены результаты расчета для двух вариантов течений.

В первом рассчитано обтекание уступа двумя потоками, отличающимися только полными энталпиями. Результаты расчета донного давления  $p_g^+=p_g/p_{01}$  и донной энталпии  $H_g^0=H_g/H_{01}$  при  $M_{01}=M_{02}=2$ ,  $\gamma_1=\gamma_2=1,4$ ,  $P_{02}/P_{01}=1$ ,  $\alpha_1=\alpha_2=0$ ,  $Re_1=Re_2=6 \cdot 10^6$ ,  $H_{w1}^- = H_{w2}^- = 1$ ,  $\delta_{01}/h = \delta_{02}/h = 0,1$ ,  $m_b = 0$ ,  $Q_{wg} = 0$  приведены на фиг. 4 для различных отношений  $H^+=H_{01}/H_{02}$ . Анализ результатов показал, что подогрев одного потока относительно другого ведет к незначительному росту донного давления.



Фиг. 5



Фиг. 6

Во втором варианте рассчитано обтекание донного уступа модели, экспериментально исследованной в [2]. Модель представляла собой осесимметричное тело, имеющее длину  $L_1=9,2D$ , внутри которого установлена камера сгорания. Продукты сгорания истекали из реактивного сопла в спутный сверхзвуковой поток. Выходной диаметр сопла  $d_c=0,5D$ . Таким образом, между поверхностью тела и выходной кромкой сопла имелся кольцевой донный уступ высотой  $h=d_c/2$ . Для сравнения выбрано сопло, рассчитанное на получение равномерного потока в выходном сечении при степени понижения давления 30.

В [2] для газового потока внутри сопла определены следующие значения параметров:  $\gamma_2=1,27$ , газовая постоянная  $R_2=167 \text{ м}^2/\text{с}^2\cdot\text{К}$ ,  $M_{02}=2,78$ . Внешний равномерный поток имеет параметры  $M_{01}=2$ ,  $\gamma_1=1,4$ ,  $R_1=127,6 \text{ м}^2/\text{с}^2\cdot\text{К}$ . Исследования проведены для различных степеней понижения давления  $P^o=P_{02}/p_{01}$  или  $P_{02}/P_{01}$ . Для каждого  $P^o$  измерено отношение полных температур двух потоков  $T_{02}/T_{01}$  и донная температура. В [2] данные о тепловом состоянии стенок не приведены. В связи с этим здесь начальные данные доопределялись. В частности, для внешнего потока принималось  $Re_1=2,7 \cdot 10^7$ ,  $H_{w1}=1$ ,  $\delta_{01}/h=0,47$ .

В результате оценок приняты данные для внутреннего потока (приведены ниже):

$P_{02}/P_{01}$	20	16	10	6	4
$H_{02}/H_{01}$	5	4,98	4,95	4,93	4,89
$T_{02}/T_{01}$	2,84	2,83	2,81	2,8	2,79
$P^o$	156	125	78	47	31
$Re_2 \cdot 10^7$	0,585	0,47	0,296	0,179	0,120
$H_{w2}/H_{02}$	0,327	0,3	0,25	0,208	0,182
$\delta_{02}/h$	0,0732	0,0734	0,0736	0,0741	0,0749

Поскольку кольцевой уступ имеет относительно большой размер, то для повышения точности расчетов границы осесимметричных потоков за уступом определялись с помощью конечно-разностной схемы [19].

В результате расчетов получены относительная величина донного давления  $p_e^o=p_g/p_{01}$  (штриховая линия на фиг. 5) в зависимости от отношения  $P^o=P_{02}/p_{01}$  и относительная величина донной энталпии  $H_g/H_{01}$ . Донная температура  $T_g^o=T_g/T_{01}$  находится из следующих соотношений:

$$\frac{T_g}{T_{01}} = \frac{H_g}{H_{01}} \frac{R_1}{R_g} \frac{\gamma_g - 1}{\gamma_g} \frac{\gamma_1}{\gamma_1 - 1}$$

$$R_g = R_1 + (R_2 - R_1) \Delta H_g$$

$$\gamma_g = \gamma_1 + (\gamma_2 - \gamma_1) \Delta H_g, \quad \Delta H_g = \frac{H_g - H_{01}}{H_{02} - H_{01}}$$

Пересчитанные таким образом значения  $T_g^\circ$  показаны штриховой линией на фиг. 6 в зависимости от отношения  $P^+ = P_{02}/p_g$ . В расчетах принималось  $m_b = 0$ ,  $Q_{wg} = 0$ . Для сравнения на фиг. 5 и 6 нанесены экспериментальные точки из [2]. Имеется небольшое отличие для  $T_g^\circ$  при  $P^+ < 200$ . По-видимому, принятая модель теплового состояния стенок не точно отражает условия эксперимента.

Для уточнения введем в рассмотрение энталпию стенки донной поверхности  $H_{wg}$ . Предположим, что  $H_{wg}$  можно определять как среднюю величину между энталпиями верхней и нижней стенок. Тогда тепловой поток через стенку уступа определяется соотношением

$$Q_{wg}^- = \alpha_g \frac{H_{wg}^- - H_g^-}{\rho_1 u_1 (1 - C_1^2)} \eta_{x1} \frac{h}{\delta_1}$$

В расчетах принято, что безразмерный коэффициент теплоотдачи  $\alpha_g = 0,005$ . Результаты расчета донного давления и донной температуры показаны на фиг. 5, 6 сплошными линиями и приведены ниже:

$P_{02}/P_{01}$	20	16	10	6	4
$p_g^\circ$	0,555	0,513	0,435	0,363	0,305
$T_g^\circ$	1,231	1,213	1,183	1,160	1,143
$P^+$	282	244	170	129	102
$H_{wg}^-$	1,318	1,247	1,119	1,013	0,945
$Q_{wg}^-$	0,0060	-0,0015	-0,017	-0,0368	-0,054

Видно, что эти результаты хорошо согласуются с экспериментальными данными [2]. Отметим, что для расчета одного варианта донного давления и донной энталпии требуется около 50 с на ЭВМ.

#### СПИСОК ЛИТЕРАТУРЫ

1. Korst H. H., Tripp W. The pressure on a blunt trailing edge separating two supersonic two-dimensional air streams of different Mach number and stagnation pressure but identical stagnation temperature // Proc. 5th Midwest. conf. Fluid Mech. Univ. Michigan. April 1–2. 1957. P. 187–199.
2. Beheim M. A., Klann J. L., Yeager R. A. Jet effects on annular base pressure and temperature in a supersonic stream // NASA. Techn. Rep. 1962. NR-125. 40 p.
3. Юрченок К. Е. Донное давление и температура за осесимметричными телами при взаимодействии струи со сверхзвуковым потоком // Изв. АН СССР. МЖГ. 1974. № 2. С. 80–89.
4. Agreil J., White R. A. An experimental investigation of supersonic axisymmetric flow over boattails containing a centered propulsive jet // FFA – TN – AU – 913. Stockholm, 1974. 51 p.
5. Wagner N., White R. A. Supersonic base flow problem in presence of an exhaust jet // AIAA Journal. 1980. V. 18. № 8. P. 876–882.
6. Deiwert G. S. Supersonic axisymmetric flow over boattails containing a centered propulsive jet // AIAA Journal. 1984. V. 22. P. 1358–1365.
7. Sahu J. Computations of supersonic flow over a missile afterbody containing an exhaust jet // J. Spacecraft and Rockets. 1987. V. 24. № 5. P. 403–410.
8. Тагиров Р. К. Влияние начального пограничного слоя на донное давление // Изв. АН СССР. МЖГ. 1966. № 2. С. 145–148.
9. Тагиров Р. К. Расчет донного давления и параметров отрывного течения за плоским уступом при звуковой или сверхзвуковой скорости набегающего потока // Тр. ЦИАМ. 1972. № 538. 14 с.
10. Miles J. B., Shih J.-S. Similarity parameter for two-stream turbulent jet-mixing region // AIAA Journal. 1968. V. 6. № 7. P. 1429–1430.
11. Клаузер Ф. Турбулентный пограничный слой // Проблемы механики. Т. 2. М.: Изд-во иностр. лит., 1959. С. 297–340.

12. Соколов П. А. Поправка к критерию Чепмена – Корста в результате действия вязких сил в области присоединения потока к поверхности обтекаемого тела // Тр. ЦАГИ. 1977. Вып. 1808. С. 23–29.
13. Chapman D. A., Kuehn D. M., Larson H. K. Investigation of separated flows in supersonic and subsonic streams with emphasis on the effect of transition // NASA Rep. 1958. № 1356. 40 р.
14. Гогиш Л. В., Степанов Г. Ю. Турбулентные отрывные течения. М.: Наука, 1979. 367 с.
15. Тагиров Р. К. Расчет критического перепада давлений на скачке уплотнения, возникающего при отрыве турбулентного пограничного слоя // Изв. АН СССР. МЖГ. 1985. № 4. С. 38–45.
16. Bogdanoff S. M. A preliminary study of reynolds number effects on base pressure at  $M=2,95$  // J. Aeronaut. Sci. 1952. V. 19. № 3. P. 201–206.
17. Korst H. H. A theory for base pressures in transonic and supersonic flow // J. Appl. Mech. 1956. V. 23. № 4. P. 593–600.
18. Page R. H., Korst H. H. Nonisoenergetic turbulent compressible jet mixing with consideration of its influence of base pressure problem // Proc. 4 Midwest. conf. on fluid mechanics. Sept. 1955. Research ser. № 128. 1956. P. 45–68.
19. Аукин М. К., Тагиров Р. К. Конечно-разностная схема второго порядка для расчета трехмерных сверхзвуковых течений идеального газа // Журн. вычисл. математики и мат. физики. 1989. Т. 29. № 7. С. 1057–1066.

Москва

Поступила в редакцию  
23.VII.1990